

©1995 г.

## ВЛИЯНИЕ ЛЕГИРОВАНИЯ ФОСФОРОМ НА ДИФФУЗИЮ ОЛОВА В ПЛЕНКАХ *a-Si:H*

*Г.С.Куликов, К.Х.Ходжаев*

Физико-технический институт им. А.Ф. Иоффе Российской академии наук,  
194021, Санкт-Петербург, Россия

(Получена 14 декабря 1994 г. Принята к печати 19 декабря 1994 г.)

Радиоактивным методом исследована диффузия олова в нелегированном и легированном фосфором аморфном гидрированном кремнии (*a-Si:H*) в интервале температур 350–500 °C. Установлено, что по мере увеличения степени легирования диффузия олова замедляется. Определены температурные зависимости коэффициента диффузии олова в нелегированном материале и легированном фосфором в концентрации  $8 \cdot 10^{19}$ ,  $3 \cdot 10^{20}$  и  $8 \cdot 10^{20} \text{ см}^{-3}$ . По данным электропереноса олово мигрирует в виде положительных ионов с эффективным зарядом  $\sim 0.5e$  ( $e$  — заряд электрона).

Олово входит в состав ITO (indium-tin oxide) — материала, используемого в качестве прозрачного проводящего контактного слоя в полупроводниковых приборах на основе аморфного гидрированного кремния (*a-Si:H*) со структурами типа «стекло-ITO-(*p<sup>+</sup>-i-n<sup>+</sup>*)-металл». Важной проблемой, возникающей при изготовлении таких структур, является деградация *p<sup>+</sup>-i-*перехода [1,2], связанная, в частности, с диффузией олова в пленку *a-Si:H*, приводящей к изменению ее темновой проводимости и фотопроводимости [3]. Ранее нами исследовалась диффузия и растворимость олова в пленках *a-Si:H*, легированных фосфором в концентрации  $8 \cdot 10^{19} \text{ см}^{-3}$  [4–6]. Настоящая работа посвящена исследованию влияния степени легирования фосфором на скорость диффузии олова в пленках *a-Si:H*. Исследовалась как нелегированные пленки, так и пленки, легированные в процессе выращивания фосфором в концентрациях  $3 \cdot 10^{20}$  и  $8 \cdot 10^{20} \text{ см}^{-3}$ . Пленки толщиной до 1 мкм выращивались на кремниевых подложках при 290 °C путем разложения SiH<sub>4</sub> в плазме высокочастотного тлеющего разряда. Содержание водорода в пленках составляло  $\sim 13$  ат%. Диффузионный отжиг проводился в интервале температур  $T = 350 \div 500$  °C. Источником примеси олова служил напыленный в вакууме на поверхность пленки слой радиоактивного изотопа <sup>119m</sup>Sn. После отжига пленки промывались в кипящей смеси H<sub>2</sub>O<sub>2</sub>+HCl, а затем с них последовательно стравливались тонкие, 0.02 мкм, слои и при этом измерялось остаточное количество олова  $Q$ .

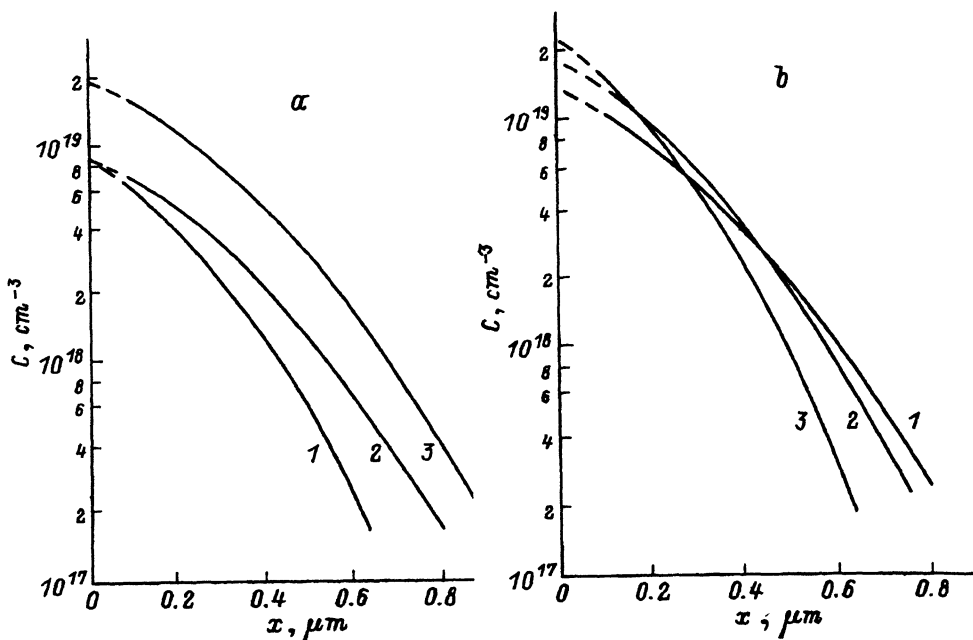


Рис. 1. Диффузионные профили олова в нелегированных (а) и в легированных (б) пленках  $a\text{-Si:H}$ . а — температура отжига  $T$ , °С: 1, 2 — 350, 3 — 400; время  $t$ , ч: 1 — 5, 2 — 7, 3 — 1. б — концентрация фосфора,  $\text{см}^{-3}$ : 1 —  $8 \cdot 10^{19}$  [4], 2 —  $3 \cdot 10^{20}$ , 3 —  $8 \cdot 10^{20}$ . Температура отжига  $T = 400$  °С, время  $t = 2$  ч.

Диффузионные профили олова  $C(x)$  определялись дифференцированием кривых  $Q(x)$ .

Как следует из результатов эксперимента, кривые остаточного количества олова  $Q(x)$  могут быть удовлетворительно описаны функцией  $i erf c$ , соответствующей диффузии из постоянного источника в полуограниченное тело (рис. 1, а и б).

Температурная зависимость коэффициента диффузии олова в нелегированных пленках следует соотношению  $D[\text{см}^2 \cdot \text{с}^{-1}] = 8 \cdot 10^{-4} \times \exp(-1.3/kT[\text{эВ}])$ , а в легированных пленках — аналогичным соотношениям с предэкспоненциальными множителями  $4.5 \cdot 10^{-4}$  [4],  $2.6 \cdot 10^{-4}$  и  $1.7 \cdot 10^{-4}$  для концентраций фосфора  $8 \cdot 10^{19}$ ,  $3 \cdot 10^{20}$  и  $8 \cdot 10^{20}$   $\text{см}^{-3}$  соответственно (рис. 2).

Нетрудно видеть, что в то время как энергия активации диффузии олова не изменяется при легировании, предэкспоненциальный множитель уменьшается с увеличением степени легирования. Это можно объяснить в предположении, что олово диффундирует в аморфной сетке  $a\text{-Si:H}$  по оборванным кремниевым связям, свободным от водорода. При этом в легированном материале диффузия олова будет замедляться, поскольку часть свободных от водорода связей будет занята атомами фосфора.

Нами изучался также электроперенос олова в нелегированных пленках  $a\text{-Si:H}$ . Слой радиоактивного изотопа  $^{119m}\text{Sn}$  располагался между двумя пленками, к которым через металлические электроды прикладывалось постоянное напряжение. Электроперенос проводился при

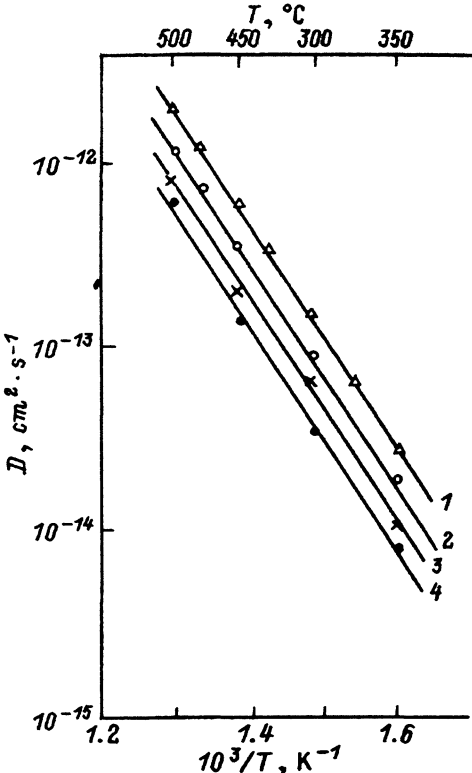


Рис. 2. Температурные зависимости коэффициента диффузии олова в нелегированных (1) и в легированных (2–4) пленках  $a\text{-Si:H}$ . Концентрация фосфора,  $\text{cm}^{-3}$ : 2 —  $8 \cdot 10^{19}$  [4], 3 —  $3 \cdot 10^{20}$ , 4 —  $8 \cdot 10^{20}$ .

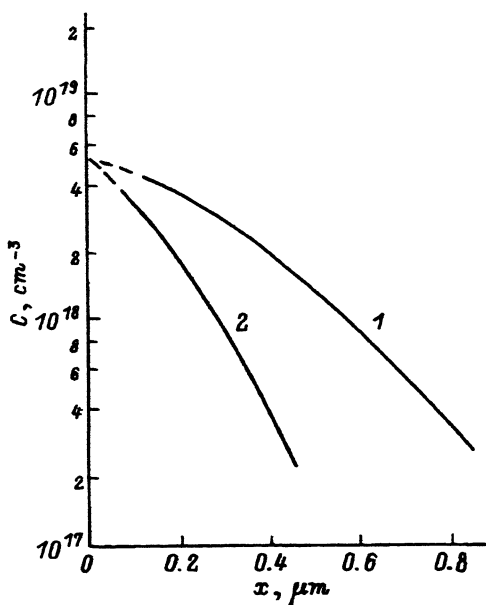


Рис. 3. Концентрационные профили олова в катодной (1) и анодной (2) пленках  $a\text{-Si:H}$ . Температура отжига  $T = 450^\circ\text{C}$ , время  $t = 5$  мин.

350 и  $450^\circ\text{C}$  в течение 30 и 5 мин соответственно. Напряженность электрического поля составляла при этом  $1.4 \cdot 10^4$  и  $4.7 \cdot 10^3 \text{ В} \cdot \text{см}^{-1}$ .

Как следует из полученных данных, олово мигрирует в электрическом поле преимущественно к катоду (рис. 3). Заряд ионов олова составляет при этом величину 0.46 и  $0.51e$  ( $e$  — заряд электрона) для 350 и  $450^\circ\text{C}$  соответственно.

#### Список литературы

- [1] A. Maden, T.J. Mc-Mahon. Solar Cells, **13**, 265 (1985).
- [2] J. Tokada, M. Yamaguchi, N. Fukada et al. Japan. J. Appl. Phys., **26**, 889 (1987).
- [3] М.С. Аблова, Г.С. Куликов, С.К. Першееев, К.Х. Ходжаев. ФТП, **24**, 1943 (1990).
- [4] К.Х. Ходжаев, К.П. Абдурахманов, Ю.Я. Амиров, В.А. Лидик, Г.С. Куликов, Е.И. Теруков, Д.П. Уткин-Эдин. ФТП, **19**, 1182 (1985).
- [5] К.Х. Ходжаев, К.П. Абдурахманов, Ю.Я. Амиров, Г.С. Куликов, Е.И. Теруков, Д.П. Уткин-Эдин. ФТП, **19**, 2219 (1985).
- [6] M.Kh. Kudoyarova, G.S. Kulikov, E.I. Terukov, K.Kh. Khodzhaev. J. Non-Cryst. Sol. **90**, 211 (1987).

Редактор Л.В. Шаронова

# **Effect of phosphorus doping on tin diffusion in *a*-Si:H films**

*G.S. Kulikov, K.Kh. Khodjaev*

A.F. Ioffe Physicotechnical Institute, Russian Academy of Sciences, 194021 St. Petersburg  
Russia

---